

مقاله پژوهشی

بررسی مورفولوژی سطح در برداشت پوسیدگی عاج دندان توسط لیزر کوکبازیر $\text{CO}_2 - \text{TEA}$

چکیده

هدف: امروزه بهمنظور کاهش درد و استرس هنگام برداشت پوسیدگی دندان، لیزرهای به عنوان جایگزین مناسب فرز دندانپزشکی مطرح شده‌اند. هدف از این پژوهش، بررسی اثر دو مشخصه طول موج و تعداد تپ‌های لیزر CO_2 قبل و بعد از پاشش اسپری خنک‌کننده آب روی بافت پوسیده عاج دندان انسان است که به کمک میکروسکوپ نوری و میکروسکوپ الکترونی روبیشی (SEM) انجام شده است.

مواد و روش‌ها: نمونه‌های مورد مطالعه، تعدادی دندان کشیده شده انسان در محلول تیمول ۱٪ است که تا آخرین مرحله آزمایش برای حفظ هیدراتاسیون بافت در آب و دمای اتاق نگهداری شدند. از آنجا که پرتودهی بر روی پوسیدگی در ناحیه عاج دندان مدنظر بوده است، نمونه‌ها برای دسترسی آسان و تسلط بیشتر در جهت طول دندان برش داده شده و در بلوك آکریلیک ارتودنسی ثابت شده‌اند. این نمونه‌ها با پرتوهای یک لیزرگازکربنیک (CO_2) تپی با پهنهای تپ ns ۲۰۰ در نرخ تکرار ۱ Hz، قبل و بعد از پاشش اسپری آب پرتودهی شده‌اند. درنهایت، اثر کندگی لیزر روی بافت پوسیده دندان در طول موج‌های مختلف (μm , ۹/۳, ۹/۶, ۱۰/۳ و ۱۰/۶) با شاریدگی $7/36 \text{ J/cm}^2$ به کمک میکروسکوپ SEM بررسی شده است.

یافته‌ها: پوسیدگی به طور مطلوب حذف شد و هیچ گونه آثار حرارتی بازگشت ناپذیر مانند (کربنی شدن، ترک‌خوردگی، ذوب و تبلور مجدد) بر روی نمونه‌ها در حضور خنک‌کننده آب مشاهده نشد.

نتیجه‌گیری: براساس نتایج بدست آمده در این کار، پرتودهی لیزر CO_2 ، می‌تواند پوسیدگی عاج دندان را در حضور خنک‌کننده آب، به طور مؤثر و مطلوب حذف کند. با این حال، بهینه‌سازی پارامترها برای نیل به نتایج رضایت‌بخش، هنوز نیازمند پژوهش‌های بیشتری است.

حديشه قلخانباز^۱

مريم ايلچي قزانى^{۲*}

بتول سجاد^۱

رضنا نشاطى^۲

۱. گروه فیزیک اقی مولکولی، دانشکده فیزیک، دانشگاه الزهرا، تهران

۲. پژوهشگاه فوتونیک و فناوری‌های کوانتومی، پژوهشگاه علوم و فنون هسته‌ای، تهران

نویسنده مسئول: مریم ایلچی قزانی

پست الکترونیک:

maryam.ilchi2010@gmail.com

واژه‌های کلیدی: مورفولوژی؛ طیفسنجی؛ لیزر CO_2 ؛ نورگرمایی؛ نورکندگی.

این لیزرهای توسط کروموفورهای اصلی آب و HA به شدت جذب می‌شوند. در حال حاضر، لیزرهای CO_2 پی کم انرژی با پهنه‌ای زمانی کوتاه از مرتبه نانوثانیه در دسترس اند که می‌توانند گزینه‌های مناسبی برای پردازش و برداشت بافت سخت و پوسیدگی دندان باشند. لیزرهای TEA از منابع تغذیه با فناوری تخلیه الکتریکی و لیزر بالا DC برای دمش مخلوط گاز استفاده می‌کنند که هزینه ذاتی این دستگاه‌ها را تا حد زیادی نسبت به سایر رقبا کاهش می‌دهد. به یک لیزر CO_2 -TEA کوکپذیر می‌توان به قله‌های اصلی این لیزر در ناحیه مادون قرمز میانه و در بازه طول موجی ۹ μm تا ۱۱ μm دست یافت. هدف از این مطالعه، بررسی آثار سطحی برداشت پوسیدگی عاج توسط لیزر CO_2 -TEA در طول موج‌ها و تعداد تپ‌های مختلف است که توسط میکروسکوپ الکترونی روبشی^۵ (SEM) انجام شده است.

برهم‌کنش لیزر - بافت

برهم‌کنش پرتوهای لیزر با بافت از طریق فرآیندهای فیزیکی جذب، عبور، بازتاب و پراکندگی است^(۸). در فرآیند جذب نور، انرژی جذب شده در یک طول موج خاص به انرژی حرارتی و یا مکانیکی تبدیل می‌شود. این عمل، به افزایش سریع دمای بافت هدف و درنتیجه، تبخیر و کندگی منجر می‌شود. برهم‌کنش‌ها بین پرتوهای لیزر و بافت سخت دندان معمولاً از نوع نور - کندگی، نور - مکانیکی و نور - گرمایی هستند^(۹). اما، این برهم‌کنش‌ها در لیزرهای با از لیزر در دندانپزشکی می‌تواند به دلیل کاهش صدا و عدم ایجاد لرزش و اصطکاک، میزان درد را کاهش دهد و نیاز به بی‌حسی موضعی را کمتر کند^(۴). شکل دادن دقیق نسج دندان و عملیات دقیق تر برداشت نیز از مزایای دیگر کاربرد لیزر در دندانپزشکی است که حتی از تسکین درد نیز بر اهمیت ترند^(۵, ۶).

مشخصه‌های لیزر به ویژه مدت زمان پرتودهی، بستگی دارد. افزایش دما می‌تواند سبب تغییر ترکیب و ساختار بافت شامل تبخیر، کربنی‌شدن و ذوب آن شده و به دنبال آن تبلور مجدد برای بافت سخت نیز رخ دهد^(۹). آثار حرارتی می‌توانند به پالپ دندان آسیب‌زده و حتی سبب مرگ و نکروز سلول‌های زنده پالپ دندان

مقدمه

پوسیدگی^۱، شایع‌ترین مورد آسیب شناختی دندان می‌باشد که منشأ آن بهداشت نامناسب دهان و رژیم غذایی نادرست است. در این بیماری، بافت‌های سخت دندان (مینا و عاج) در اثر ترشح اسید از باکتری‌های پوسیدگی‌زا (به‌طور عمده، استرپتوكوک موتانس^۲، ماده معدنی هیدروکسی‌آپاتایت^۳ (HA) را از دست می‌دهند و به یک ساختار نرم، متخلخل و نفوذپذیر تبدیل می‌شوند که فاریت آب و پروتئین بیشتری دارد^(۱).

بافت سخت دندان از مینا و عاج تشکیل شده است. مینا، رویی ترین قسمت در کالبد دندان انسان است که ۹۶٪ آن از فسفات کلسیم کریستالی HA تشکیل شده است. عاج، در زیر مینا قرار دارد و شامل ساختارهایی لوله مانند به نام «توبول‌های عاجی»^۴ است. عاج دندان از مینا نرم‌تر است زیرا ۷۰٪ آن از HA، ۱۰٪ آب و مابقی آن از مواد معدنی تشکیل شده است. از آنجایی که عاج، لایه نهایی قبل از رسیدن به پالپ دندان و سست‌تر از مینا است، هنگامی که در معرض پوسیدگی قرار می‌گیرد، مشکلات متعددی ممکن است رخدده دهد^(۲, ۳).

در حال حاضر، حذف پوسیدگی‌های مینا و عاج با فرزهای متداول و با بی‌حسی انجام می‌شود. عصب دندان هنگام برداشت پوسیدگی، هم به ارتعاش‌های القابی بسیار حساس است و هم حرارت ناشی از اصطکاک را احساس می‌کند، بنابراین درد را متتحمل می‌شود. استفاده از لیزر در دندانپزشکی می‌تواند به دلیل کاهش صدا و عدم ایجاد لرزش و اصطکاک، میزان درد را کاهش دهد و نیاز به بی‌حسی موضعی را کمتر کند^(۴). شکل دادن دقیق نسج دندان و عملیات دقیق تر برداشت نیز از مزایای دیگر کاربرد لیزر در دندانپزشکی است که حتی از تسکین درد نیز بر اهمیت ترند^(۵, ۶).

در میان انواع لیزرهای با طول موج‌های مختلف، تنها لیزرهای تپی خانواده اربیوم (Er:YAG و Er,Cr:YSGG) و گازکربنیک (CO_2) در برداشت بافت‌های سخت دندان و پوسیدگی‌ها کاربرد دارند^(۷)، زیرا

¹ Carious lesions

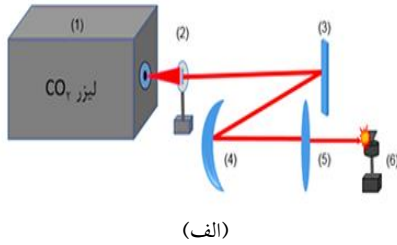
² Streptococcus mutans

³ Hydroxyapatite

⁴ dentinal tubules

⁵ Scanning Electron Microscope

بیشینه انرژی $J = 5$ ، توان متوسط $W = 50$ و قله توان $MW = 50$ در گستره طول موجی $\mu\text{m} = 9-11$ ، برای پرتودهی نمونه‌ها استفاده شده است. همچنین، یک صفحه پلکسی $(\text{cm}^2) = 5 \times 5$ با روزنه‌ای در مرکز آن به قطر 2 mm بر سر مسیر پرتو لیزر قرار داده شد تا پرتو پس از عبور از آن با سطح مقطع دایره‌ای و انرژی کمتر در دسترس باشد. در تمام آزمایش‌ها، از دو آینه تخت و کاو مسی برای موازی‌سازی پرتو لنز با فاصله کانونی 10 cm جهت متمرکردن پرتو لیزر روی نمونه و از پایه فلزی جهت ثابت نگه داشتن نمونه بهره گرفته شده است.



(الف)



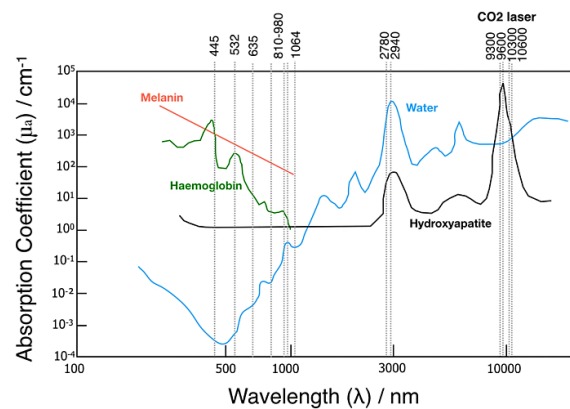
(ب)

شکل ۲. (الف) طرحواره و جهت پرتودهی نمونه شامل؛ (۱) لیزر CO_2 ، (۲) روزنه، (۳) آینه تخت، (۴) آینه کاو، (۵) لنز و (۶) یک پایه ثابت برای قرارگیری نمونه دندان با لیزر، (ب) چیدمان آزمایشگاهی برپا شده در ازمایشگاه.

برای اندازه‌گیری انرژی لیزر از یک ژول متر رقمی و برای تنظیم خط لیزر در طول موج دلخواه از طیف‌سننج استفاده شده است. همچنین، بررسی و آنالیز سطح نمونه‌ها به کمک یک میکروسکوپ نوری و یک میکروسکوپ SEM انجام شده است. بهمنظر کاهش دمای بافت و به حداقل رساندن آسیب‌های حرارتی، با توجه به ضریب جذب بالای آب در ناحیه طول موجی IR بر روی بافت هدف، همزمان با تابش لیزر آب اسپری شده است. یک پرتو لیزر که تا حدی در آب جذب می‌شود، حباب بخاری با قطر

شوند. با استفاده از اسپری لایه نازکی از آب می‌توان از عوارض جانبی ناشی از گرمابر روی سطح در حین کندگی اجتناب نمود (۱۰^{۱۱}). از سوی دیگر، برای دستیابی به این امر، پهنانی تپ لیزر باید کمتر از زمان واهلش گرمایی^۱ (TRT) بافت هدف انتخاب شود. متناسب‌بودن پهنانی تپ با TRT بافت و کاهش انرژی، سبب جلوگیری از اشتعال شدن کندگی در تعداد تپ‌های بالاتر خواهد شد که ناشی از پیدایش اثر حفاظ پلاسمایی^۲ است.

لیزرهایی که طول موج آنها به شدت در آب و HA جذب می‌شوند، امکان برداشت انتخابی و کم‌تهاجمی بافت سخت دندان پوسیده را فراهم می‌کنند (۱۲). مطابق شکل ۱، جزء بافتی که حداقل طول موج CO_2 را جذب می‌کند، HA است به خصوص در طول موج‌های $9/3 \mu\text{m}$ و $9/6 \mu\text{m}$ (به ترتیب با ضرایب جذب 8000 cm^{-1} در مینا و 5000 cm^{-1} در آج) و بعد از آن، آب بیشترین جذب را دارد (۱۰^{۱۳}-۱۴).



شکل ۱. ضریب جذب انواع کروموفورهای بافت‌های داخل دهان بر حسب طول موج‌های مختلف (۱۰).

مواد و چیدمان آزمایشگاهی

چیدمان آزمایشگاهی شامل؛ لیزر، روزنه، آینه تخت، آینه کاو، لنز و یک پایه ثابت برای قرارگیری نمونه، در شکل ۲ نشان داده شده است. از یک لیزر کوک‌پذیر CO_2 مدل TEA- CO_2 ، پهنانی تپ 200 ns ،

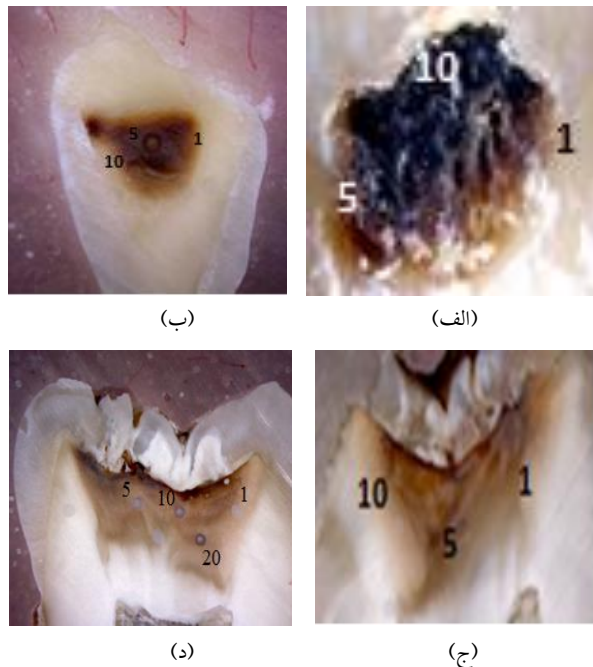
¹ Thermal Relaxation Time

² Plasma shielding

شده است. در تمامی مراحل، دو مشخصه طول موج و تعداد تپها قبل و بعد از پاشش اسپری آب، متغیرهای آزمایش بودند.

بررسی و بیان نتایج

در سری اول آزمایش‌ها، پرتو لیزر CO₂ در طول موج‌های مختلف با انرژی کمینه ۲۸ mJ، قطر لکه ۰,۸ mm و چگالی انرژی ۷/۳۶ J/cm² بر روی ۴ نمونه عاج پوسیده دندان بودند، تابانده شد. شکل ۴، تأثیر پرتودهی بر نمونه‌های ۱ تا ۴ بدون اسپری آب را نشان می‌دهد که در آن کربنی شدن با چشم و با میکروسکوپ نوری با حداقل بزرگنمایی مشاهده می‌شود. طبق تصاویر میکروسکوپ نوری، این نمونه‌ها ضمن کندگی، کربنی نیز شده‌اند.



شکل ۴. تصاویر میکروسکوپ نوری عاج پوسیده در طول موج (الف) ۹/۳ μm ، (ب) ۱۰/۳ μm ، (د) ۱۰/۶ μm ، (ج) ۹/۶ μm با تعداد تپ‌های مختلف و خنک‌کنندگی هواي محیط (اعداد روي شکل تعداد تپ‌های اعمال شده در هر نقطه است).

به طور معمول، پوسیدگی به تیرگی دندان می‌انجامد اما گاهی اوقات، ضایعات پوسیدگی در سطح، روشی به نظر می‌رسند. از این‌رو، شناسایی آنها مشکل‌تر است. در دندانپزشکی، از روش‌های طیف‌سنجی و تصویربرداری اشعه X برای اطمینان از پوسیدگی دندان بیماران بهره گرفته می‌شود. اما در این پژوهش، با توجه به اینکه

بسیار بزرگتر ایجاد می‌کند. بنابراین، پرتو لیزر در لحظه و با ازدست دادن انرژی بسیار کمی یک "تونل بخار" را از طریق حتی بزرگترین قطه اسپری آب یا آب لایه سطحی ایجاد می‌کند (۱۵).

آماده‌سازی نمونه

تعدادی دندان انسان که به دلیل پوسیدگی کشیده شده بودند از یک درمانگاه دندانپزشکی جمع آوری شد. برای دسترسی به عاج و تسلط بیشتر به دندان و داشتن یک سطح صاف و یک‌دست، نمونه‌ها به روش CNC با تبعیغ ظریف فنری به قطر ۴ mm و شعاع ۱۱۰ mm مانند شکل ۳ در جهت طول برش زده شدند و پس از سمباده کاری با سمباده ۱۰۰۰، در بلوك‌های آکریلیک ارتودنسی نصب شدند. همچنین، برای جلوگیری از رشد باکتری‌ها در محیط مرطوب، نمونه‌ها در تیمول ضد عفونی کننده ۱٪ و برای حفظ هیدراتاسیون بافت تا آخرین مرحله آزمایش در آب و دمای اتاق نگهداری شدند.

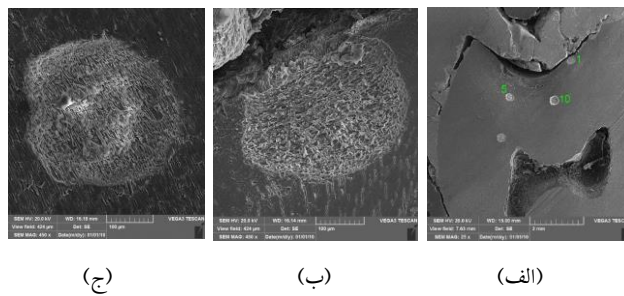


شکل ۳. نمونه دندان آماده شده برای تسلط و دستیابی به عاج دندان.

روش انجام آزمایش‌ها

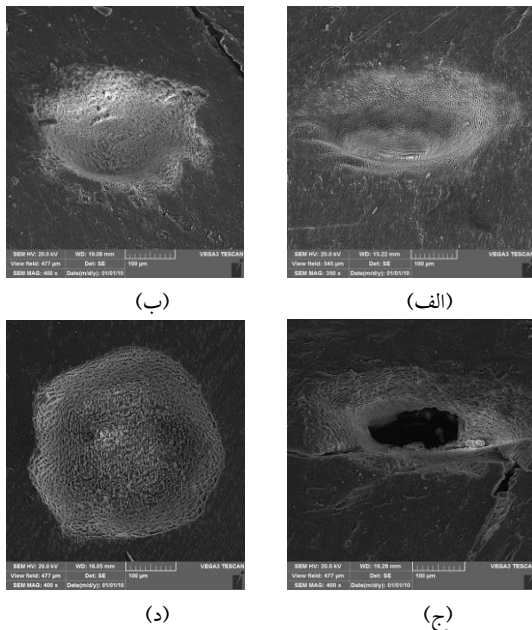
آزمایش‌ها با تابش دهی نمونه توسط پرتوهای کانوئی لیزر CO₂-TEA با کمینه انرژی دستگاه با پهنه‌ای تپ ۲۰۰ ns در نرخ تکرار ۱ Hz انجام شده است. نمونه‌هایی که در آب نگهداری می‌شدند، قبل از ثابت شدن بر روی پایه در هوا خشک شدند. ۸ نمونه دندان پوسیده با استفاده از لیزر در طول موج‌های ۹/۳، ۹/۶، ۱۰/۳ و ۱۰/۶ μm پرتودهی شدند. ۴ نمونه بدون حضور اسپری خنک‌کننده آب (خنک‌سازی در دمای محیط) و ۴ نمونه بعدی با حضور خنک‌کننده اسپری آب آزمایش شدند. برای جلوگیری از آثار حرارتی، نرخ تکرار تپ در تمامی مراحل ۱ Hz در نظر گرفته شده است و برای کم شدن انرژی بر حسب نیاز، از پلکسی با روزنه‌ای به قطر ۲ mm استفاده

انفجارهای ریز موضعی ایجاد می‌کند که سبب کنده شدن بافت سخت می‌شود. همچنین، کندگی بافت سخت حاصل از جذب بسیار قوی طول موج لیزر CO_2 در بلورهای کریستالی مواد معدنی HA است که پس از ذوب این ماده معدنی رخ می‌دهد.

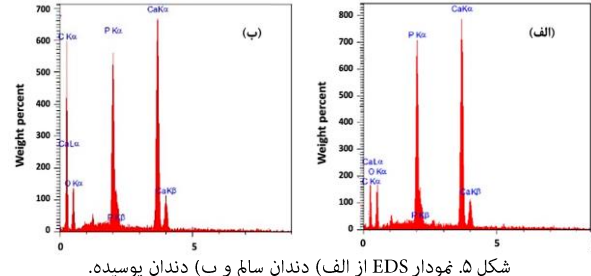


شکل ۷. تصاویر SEM عاج دندان. (الف) نمای کلی، (ب) یک تپ و (ج) ۵ تپ در طول موج $10/\mu\text{m}$ و خنک‌کننده اسپری آب در بزرگمایی $450\times$.

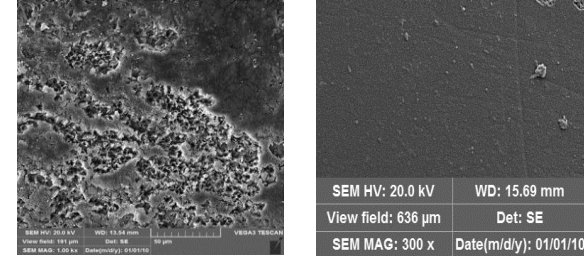
آزمایش‌ها علاوه بر طول موج $10/\mu\text{m}$ ، برای $3\text{ }\mu\text{m}$ طول موج دیگر لیزر $(10/3\text{ }\mu\text{m}, 9/6\text{ }\mu\text{m}$ و $9/3\text{ }\mu\text{m}$) نیز در کمترین مقدار انرژی در دسترس دستگاه (نژدیک به انرژی آستانه کندگی) و نرخ تکرار 1 Hz با تعداد تپ‌های مختلف $1, 5$ و 10 تپ تکرار شد که در تمامی آنها کندگی مطلوب رخ داده است. نتایج بدست آمده در شکل ۸ نشان داده شده است.



دندان‌ها کشیده شده بودند، از طیف‌سنجی پراش انرژی^۱ (EDS) استفاده شد. اطلاعات به دست آمده از این روش، برای بررسی کمی و کیفی ترکیب‌های شیمیایی استفاده می‌شود. همان‌طور که در شکل ۵ مشخص است، میزان کربن موجود در پوسیدگی نسبت به بافت سالم دندان بیشتر است و کلسیم کمتری را دارد. همچنین، ساختار دندان پوسیده نسبت به بافت سالم، متخلخل است که به وضعی در تصاویر SEM شکل ۶ مشاهده می‌شود.



شکل ۵. نمودار EDS از (الف) دندان سالم و (ب) دندان پوسیده.



شکل ۶. تصاویر SEM (الف) دندان سالم و (ب) دندان پوسیده.

در مرحله بعد، $4\text{ }\mu\text{m}$ نمونه با قیمانده با همان شرایط مرحله قبل اما این‌بار در حضور اسپری خنک‌کننده آب، پرتودهی شدند. در تصاویر میکروسکوپ نوری نمونه‌ها، آثار حرارتی مشاهده نمی‌شود. در این مرحله، برای بررسی دقیق‌تر سطح نمونه‌ها و اطمینان از کندگی مطلوب و فاقد آثار حرارتی بازگشت ناپذیر، نمونه‌های $5\text{ تا }8\text{ }\mu\text{m}$ از پوشانیده شدن بالایه نازکی از طلا، به کمک میکروسکوپ SEM بررسی شدند. شکل ۷، پرتودهی با $1\text{ و }5$ تپ در طول موج $10/\mu\text{m}$ روی عاج دندان را نشان می‌دهد که هیچ گونه آثار حرارتی در آن دیده نمی‌شود و کندگی مطلوب است. آب درون لایه‌ای بافت سخت، در اثر برهمکنش نور - گرمایی با پرتو لیزر CO_2 تبخیر می‌شود و

¹ Energy Dispersive Spectroscopy

استفاده از طول موج $9.6 \mu\text{m}$ و پهنهای تپ حدود $8 \mu\text{s}$ با چگالی انرژی های بالای $10-15 \text{ J/cm}^2$ و Fried Kenneth در سال ۲۰۰۶ با طول موج $9.3 \mu\text{m}$ و پهنهای تپ $8 \mu\text{s}$ است که پتانسیل قابل توجه این لیزر برای برداشت و مهار پوسیدگی، بدون ایجاد آسیب حرارتی به بافت های مجاور را نشان می دهد (۱۹-۲۲). Chan Kenneth و Daniel Fried متشترش دد. آنها تو انتستند تشخیص و کندگی انتخابی ضایعات پوسیدگی را با استفاده از یک سیستم تصویربرداری یکپارچه IR نزدیک و یک لیزر CO₂ جدید در طول موج $9.3 \mu\text{m}$ با چگالی انرژی 2 J/cm^2 ، پهنهای تپ $170 \mu\text{s}$ و نرخ تکرار 5 Hz به طور Antony مطلوب انجام دهند (۷). در مطالعه دیگری که توسط Otero و همکارانش در سال ۲۰۲۱ انجام شد، قابلیت لیزر های CO₂ در مقابله فرز بر سازگاری حاشیه ای در مینا و عاج با سیستم های ترمیمی مختلف بررسی شد. آنها نتایج مطلوبی از کندگی با لیزر CO₂ در طول موج $9.3 \mu\text{m}$ و لیزر Er:YAG را گزارش کردند (۱۲).

در این مطالعه، اثرات مورفولوژی سطح برداشت پوسیدگی عاج ناشی از لیزر TEA-CO₂ با کمینه شاریدگی $7/26 \text{ J/cm}^2$ با پهنهای تپ $200 \mu\text{s}$ در نرخ تکرار 1 Hz با استفاده از میکروسکوپ SEM مورد بررسی قرار گرفته است. نتایج حاصل در جدول ۱ خلاصه شده است که نشان می دهد کندگی ها در شرایط آزمایشگاهی هوا-خنک با کربنی شدن بافت ناشی از تجمع گرما همراه است که درنتیجه می تواند به بافت پالپ مجاور عاج نیز آسیب وارد نماید.

بررسی برهمکنش عاج دندان با پرتو لیزر از جمله موارد ضروری است زیرا حفظ نسج سالم آنها از آسیب های حرارتی مانند ترک خوردنگی که خود زمینه ایجاد و پیشرفت بیشتر پوسیدگی های بعدی می شود از اهمیت بالایی برخوردار است.

جدول ۱. نتایج پرتودهی عاج دندان با لیزر کوکبزیر CO₂-TEA در طول موج های مختلف با $1, 5$ و $10 \mu\text{s}$.

شکل ۸. تصویر SEM عاج دندان در طول موج (الف) $9.3 \mu\text{m}$ (ب) $9.6 \mu\text{m}$ (ج) $10.6 \mu\text{m}$ (د) با تعداد ۱۰ تپ و خنک کننده اسپری آب.

در شرایط درنظر گرفته این پژوهش تا تعداد ۱۰ تپ روی عاج دندان، کندگی ها فاقد آثار حرارتی هستند و نتایج مطلوبی حاصل شده است که امید به این روش لیزری جایگزین رایشتر می کند. اما در تپ های بالاتر، به دلیل گرمای بیش از حد ناشی از انباست انرژی، ممکن است آثار حرارتی رخ دهد و به شرایط خنک سازی بهتری نیاز است.

از سوی دیگر، طول موج های $9.3 \mu\text{m}$ و $9.6 \mu\text{m}$ کندگی مطلوب تر با نسبت های عمق/ارتفاع بالاتر و عمق جذب حدود μm ۱-۲ ایجاد می کنند که ناشی از ضریب جذب بالای آنها تو سط ماده معدنی HA بونیزه شده موجود در پوسیدگی (شکل ۱) و فرایت بیشتر آب و پروتئین در بافت پوسیده نسبت به بافت سالم است. از این رو، کندگی لیزری ضایعات پوسیدگی عاج دندان در طول موج های $9.3 \mu\text{m}$ و $9.6 \mu\text{m}$ لیزر CO₂ انتخابی، کم تهاجمی و غیر مخرب است.

بحث

نقش لیزر CO₂ در برداشت و مهار پوسیدگی پوسیدگی تو سط بسیاری از محققان مورد بررسی قرار گرفته است که از برهمکنش طول موج های مختلف لیزر CO₂ با بافت های سخت دندان بهره گرفته اند. Leighty و همکارانش در سال ۱۹۹۱ Kurosaki و همکارانش در سال ۱۹۹۷ CO₂ در سال ۲۰۰۱ نشان دادند که استفاده از لیزر CO₂ در مدل عملکرد موج پیوسته^۱ (CW) با آسیب حرارتی غیرقابل قبول ناشی از انباست انرژی روی بافت و حتی آسیب ناشی از انتقال حرارت به پالپ همراه است (۱۶-۴۵۰۱).

پژوهش های بیشتر با لیزر CO₂ به صورت خروجی تپی^۲ شامل پژوهش Featherstone و Nelson در سال ۱۹۸۷ با استفاده از طول موج های $9.3 \mu\text{m}$ و $9.6 \mu\text{m}$ و شاریدگی تک تپ 2.5 mJ/cm^2 ، Fried و همکارانش در سال ۱۹۹۴ با پهنهای تپ از $50 \mu\text{s}$ تا $500 \mu\text{s}$ و همکارانش در سال ۱۹۹۵ با پهنهای تپ از

¹ Continuous-wave
² pulsed

برداشت پوسیدگی دندان به طور مطلوب و بدون آثار حرارتی توسط لیزر CO_2 -TEA، با استفاده از مشخصه های بهینه لیزر و مدیریت آنها برای کنترل دما و همین طور با بهره گیری از خنک کننده مناسب، حتی در تعداد تپ های بالاتر (تا ۱۰ تپ) به خصوص پرتودهی با طول موج های $9/3 \mu\text{m}$ و $9/6 \mu\text{m}$ ، مقدور است. نتایج به دست آمده از تصاویر میکروسکوپ SEM نشان دادند که آثار سطحی در این ناحیه به شدت وابسته به طول موج است و طول موج های $9/3 \mu\text{m}$ و $9/6 \mu\text{m}$ در برداشت پوسیدگی عاج بسیار کارآمد هستند. این لیزر با خنک کننده مناسب می تواند برای برداشت مطلوب بافت سخت بدون آسیب حرارتی به پالپ در نظر گرفته شود و باید به خاطر سپرد که پیشرفت فرزهای دندانپزشکی و سایر روش های لیزری در طول چندین دهه حاصل شده است و سپس، این ابزارها به بلوغ کنونی خود رسیده اند. به همین ترتیب، توسعه روش لیزری مورد استفاده در این پژوهش نیز می تواند یک راهکار جایگزین مناسب ارائه کند.

نتیجه آزمایش	خنک کننده	طول موج (μm)	نمونه
کنگی همراه با کربنیزاسیون	هوای-خنک	۹/۳	۱
		۹/۶	۲
		۱۰/۳	۳
		۱۰/۶	۴
کنگی مطلوب و فاقد آثار حرارتی با زگش ناپذیر مانند ترک خوردگی، ذوب، تبلور و کربنی شدن در سطح عاج و آسیب حرارتی به پالپ	آب-خنک	۹/۳	۵
		۹/۶	۶
		۱۰/۳	۷
		۱۰/۶	۸

در بررسی مورفولوژی سطح نمونه ها با میکروسکوپ SEM مشخص شده است که پرتودهی در حضور اسپری آب با کمینه شاریدگی $7/36 \text{ J/cm}^2$ حتی در تعداد تپ های بالاتر تا ۱۰ تپ، آسیب های حرارتی را از بین می برد. از طرفی، انتخاب مناسب مشخصه های پرتودهی مانند پرتودهی با طول موج های $9/3 \mu\text{m}$ و $9/6 \mu\text{m}$ ، بهترین طول موج برای هدف برداشت بافت سخت دندان هستند کمک خواهد کرد که لیزر CO_2 -TEA برای این هدف بسیار مناسب باشد. این جذب کارآمد و همین طور مدیریت دقیق تر حذف و برداشتن حجم مناسبی از پوسیدگی، می تواند دلیل اصلی استفاده از لیزر CO_2 در این دو طول موج گردد. همچنین، با توجه به خواص فیزیکی (بازتاب، ضریب جذب، و عمق جذب) این لیزر روی مینا و عاج، اثر حرارتی روی پالپ نیز می تواند کمتر باشد.

نتیجه گیری

برهم کنش لیزر CO_2 -TEA با بافت سخت عاج دندان از نوع برهم کنش نور - گرمایی است زیرا، پرتو این لیزر به شدت توسط کروموفورهای اصلی سازنده بافت سخت دندان (آب و HA) جذب می شوند. به خصوص، در طول موج های اصلی این لیزر ($9/3$, $9/6$, $10/3$ و $10/6 \mu\text{m}$) و پرتودهی با استفاده از شرایط این پژوهش بدون حضور خنک کننده آب ممکن است علاوه بر کنگی، آثار حرارتی جبران ناپذیر حتی در یک تپ نیز به همراه داشته باشد. از این رو،

References:

1. Simmer JP, Fincham AG. Molecular mechanisms of dental enamel formation. Vol. 6, Critical Reviews in Oral Biology and Medicine. 1995.
2. LeGeros RZ, Bonel G, Legros R. Types of "H₂O" in human enamel and in precipitated apatites. *Calcif Tissue Res.* 1978;26(1).
3. Ryou H, Romberg E, Pashley DH, Tay FR, Arola D. Importance of age on the dynamic mechanical behavior of intertubular and peritubular dentin. *J Mech Behav Biomed Mater.* 2015;42.
4. Türkmen C, Günday M, Karaçorlu M, Başaran B. Effect of CO₂, Nd:YAG, and ArF excimer lasers on dentin morphology and pulp chamber temperature: An in vitro study. *J Endod.* 2000;26(11).
5. Niemz MH. Laser-Tissue Interactions. In: *Laser Light Therapy in Dentistry: Efficacy, Uses and Limitations.* 2021.
6. Mizutani K, Aoki A, Coluzzi D, Yukna R, Wang CY, Pavlic V, et al. Lasers in minimally invasive periodontal and peri-implant therapy. *Periodontology 2000.* 2016.
7. Fried NM, Fried D, Chan KH. Selective ablation of carious lesions using an integrated multispectral near-IR imaging system and a novel 9.3-μm CO₂ laser. In 2018.
8. Abdulsamee N. All Tissues Dental Laser Er:YAG laser- Review Article. *Biomed J Sci Tech Res.* 2017;1(1).
9. Shayeganrad G and LM. Laser Characteristics on Hard Tissue Laser Machining. *Sensors & Transducers.* 2018;226(10):17–36.
10. Luk K, Zhao IS, Gutknecht N, Chu CH. Use of carbon dioxide lasers in dentistry. *Lasers in Dental Science.* 2019.
11. Marraccini TM, Bachmann L, Wigdor HA, Walsh JT, Stabholz A, Zezell DM. Morphological evaluation of enamel and dentin irradiated with 9.6 μm CO₂ and 2.94 μm Er:YAG lasers. *Laser Phys Lett.* 2005;2(11).
12. Anton y Otero CI, Di Bella E, Krejci I, Bortolotto T. Effect of 9.3 μm CO₂ and 2.94 μm Er:YAG Laser vs. Bur Preparations on Marginal Adaptation in Enamel and Dentin of Mixed Class V Cavities Restored With Different Restorative Systems. *Frontiers in Dental Medicine.* 2021;2.
13. Nasim H, Jamil Y. Diode lasers: From laboratory to industry. Vol. 56, *Optics and Laser Technology.* 2014.
14. Sarver DM, Yanosky M. Principles of cosmetic dentistry in orthodontics: Part 2. Soft tissue laser technology and cosmetic gingival contouring. *American Journal of Orthodontics and Dentofacial Orthopedics.* 2005;127(1).
15. Daci J GB. Comparison of Er:YAG and Er,Cr:YSGG lasers used in dentistry. *J laser health Acad.* 2012;1(1):1–13.
16. Fox JL, Yu D, Otsuka M, Higuchi WI, Wong J, Powell GL. Initial Dissolution Rate Studies on Dental Enamel after CO₂ Laser Irradiation. *J Dent Res.* 1992;71(7).
17. Featherstone JDB, Barrett-Vespone NA, Fried D, Kantorowitz Z, Seka W. CO₂ laser inhibition of artificial caries-like lesion progression in dental enamel. *J Dent Res.* 1998;77(6).
18. Fried D. Thermal response of hard dental tissues to 9- through 11-μm CO₂-laser irradiation. *Optical Engineering.* 1996;
19. Nelson DGA, Wefel JS, Jongebloed WL, Featherstone JDB. Morphology, histology and crystallography of human dental enamel treated with pulsed low-energy infrared laser radiation (With 1 color plate). *Caries Res.* 1987;
20. Fan K, Fried D. A high repetition rate TEA CO₂ laser operating at λ=9.3-μm for the rapid and conservative ablation and modification of dental hard tissues. In: *Lasers in Dentistry XII.* 2006.
21. McCormack SM, Fried D, Featherstone JDB, Glena RE, Seka W. Scanning Electron Microscope Observations of CO₂ Laser Effects on Dental Enamel. *J Dent Res.* 1995;
22. Marraccini TM, Bachmann L, Wigdor HA, Walsh JT, Turbino ML, Stabholz A, et al. Enamel and dentin irradiation with 9.6 μm CO₂ and 2.94 μm Er:YAG lasers: Bond strength evaluation. *Laser Phys Lett.* 2006;3(2).